

## Практичне заняття № 2.

### Паралельні алгоритми розв'язання одновимірної задачі цифрової фільтрації.

#### Формулювання задачі цифрової фільтрації.

Розглянемо одновимірну задачу цифрової фільтрації (ЗЦФ), яка полягає у виконанні  $k$  переобчислень масиву значень  $n$  змінних за формулою:

$$x_i = \sum_{s=-m}^m x_{i+s} \cdot f_s, \quad i = \overline{1, n}. \quad (1)$$

Тут переобчислення згладжування здійснюються через рухоме вікно розміром  $2m+1$ . При цьому в (1) значення  $x_{1-m}, x_{2-m}, \dots, x_0; x_{n+1}, x_{n+2}, \dots, x_{n+m}$  та вагові коефіцієнти  $f_{-m}, f_{-m+1}, \dots, f_m$  – задані константи. Вагові коефіцієнти вибираються такими, щоб їх сума дорівнювала 1. Зазвичай на практиці  $n \gg m$ .

У більшості випадків ЗЦФ доводиться розв'язувати в режимі реального часу з метою

попереднього опрацювання сигналів, зображень;  
великих масивів експериментальних, пошкоджених,  
спотворених даних тощо,

тому для високошвидкісної фільтрації необхідно використовувати паралельні алгоритми, орієнтовані на реалізацію на високопродуктивних обчислювальних засобах.

#### Послідовний алгоритм розв'язання ЗЦФ.

Стандартний послідовний алгоритм розв'язання сформульованої ЗЦФ має вигляд:

$$\begin{aligned} & \text{FOR } j=1, k \text{ DO} \\ & \{ \text{FOR } i=1, n \text{ DO} \\ & \quad \{ p=0 \\ & \quad \text{FOR } s=-m, m \text{ DO} \\ & \quad \quad \{ p = p + x_{i+s} * f_s \} \\ & \quad \quad x_i = p \} \}. \end{aligned} \quad (2)$$

З цього алгоритму випливає, що для послідовного переобчислення значень змінної  $x_i$  на  $j$ -му кроці беруться значення  $x_{i-m}, x_{i-m+1}, \dots, x_{i-1}$ , які є вже переобчисленими на цьому ж кроці. Схематично інформаційні зв'язки між ітераціями циклу (2) для  $m=1, n=5, k=4$  зображено на рис. 1.

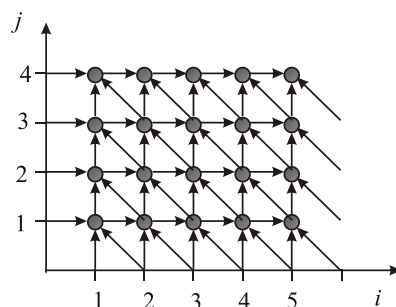


Рис. 1

Для реалізації послідовного алгоритму (2) необхідно виконати

$$2(2m+1)nk$$

операцій.

### Паралельні алгоритми розв'язання ЗЦФ.

Природний перехід до *паралельної схеми* обчислень пов'язаний з одночасним переобчисленням значень всіх змінних  $x_i$  ( $i = \overline{1, n}$ ), який можна здійснити з допомогою алгоритму:

$$\begin{aligned} & \text{FOR } j=1, k_1 \text{ DO} \\ & \{ \text{FOR } i=1, n \text{ DO PAR} \\ & \quad \{ p_i = 0 \\ & \quad \text{FOR } s=-m, m \text{ DO} \\ & \quad \quad \{ p_i = p_i + x_{i+s} * f_s \} \\ & \quad \quad x_i = p_i \} \}. \end{aligned} \quad (3)$$

Тут *PAR* – це тип паралельності.

Даний алгоритм задає паралельне переобчислення значень всіх змінних. Однак тут можливі *два варіанти* виконання обчислень. За **першого варіанту**, коли *PAR* є *SIM* (simultaneous), для  $j$ -го переобчислення беруться значення змінних, одержані виключно під час  $(j-1)$ -го переобчислення. Для забезпечення цього необхідна синхронізація паралельних гілок після виконання чергового переобчислення. Тому таку схему обчислень будемо називати **синхронною**, а відповідний алгоритм, який її реалізує, є зорієнтований на виконання на *SIMD*-обчислювальних системах. Інформаційні зв'язки між ітераціями  $(i, j)$  конструкції (3) для  $m=1, n=5, k_1=5$  зображено на рис. 2.

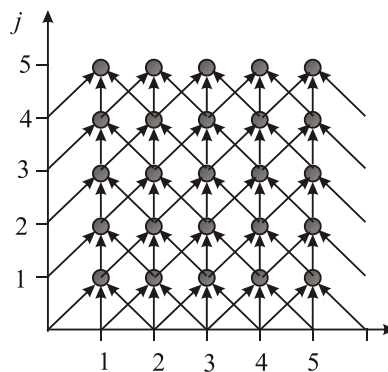


Рис. 2

Для реалізації паралельного алгоритму (3) (синхронна схема) необхідно виконати

$$2(2m+1)k_1$$

операцій.

За **другого варіанту**, коли *PAR* є *CONC* (concurrent), переобчислення значень змінної  $x_i$  здійснюється незалежно від переобчислення значень інших змін-

них і при цьому як аргументи використовуються поточні значення  $x_{i-m}, x_{i-m+1}, \dots, x_i, \dots, x_{i+m}$ . Один із можливих порядків обчислень у даному разі для  $m=1, n=5, k_1=4$  зображено на рис. 3. Таку схему обчислень називають **асинхронною**.

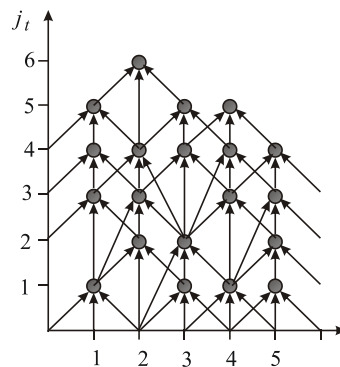


Рис. 3

Зауважимо, що графи інформаційної залежності для (2) і (3) є *різними*.

### Прискорення паралельного алгоритму.

Еквівалентний послідовний аналог алгоритму (3) (синхронна схема) можна записати у вигляді:

$$\begin{aligned}
 & \text{FOR } j=1, k_1 \text{ DO} \\
 & \{ \text{FOR } i=1, n \text{ DO} \\
 & \quad \{ p=0 \\
 & \quad \text{FOR } s=-m, m \text{ DO} \\
 & \quad \quad \{ p = p + x_{i+s}^{j-1} * f_s \} \\
 & \quad \quad x_i^j = p \} \}.
 \end{aligned} \tag{4}$$

Тут вважаємо, що  $x_{i'}^0 = x_{i'}$  для всіх  $i' = \overline{1-m, n+m}$ . Тобто це є початкові значення змінних (до виконання першого переобчислення). Результатом роботи послідовного алгоритму (4) є  $x_i^{k_1}, i = \overline{1, n}$ .

Графи інформаційної залежності алгоритму (3) (синхронна схема) та (4) співпадають. Це означає, що за однакових вхідних даних ці алгоритми дають однаковий результат.

Для реалізації послідовного алгоритму (4) необхідно виконати

$$2(2m+1)nk_1$$

операцій.

Оскільки графи інформаційної залежності між ітераціями для (3) (синхронна схема) та (4) співпадають, то ці алгоритми можна порівнювати за швидкістю. Тому прискорення алгоритму (3) (синхронна схема) порівняно з його послідовною реалізацією обчислюємо за формулою:

$$S = \frac{2nk_1(2m+1)}{2k_1(2m+1)} = n.$$

Ця оцінка приведена за умови, що синхронізація суттєво не впливає на час виконуваних обчислень. На практиці цього можна досягти завдяки апаратній реалізації процесу синхронізації або програмній унаслідок ефективного використання кеш-пам'яті.

### **Вправи для самостійної роботи.**

1. Схематично зобразити інформаційні зв'язки між ітераціями для алгоритмів (2) у випадку  $m = 2, n = 6, k = 3$  та (3) (синхронна схема) у випадку  $m = 2, n = 7, k_1 = 4$ .
2. Зобразити два можливі порядки обчислень під час розв'язання ЗЦФ за асинхронною схемою для  $m = 1, n = 5, k_1 = 4$ , відмінні від наведеного на рис. 3.